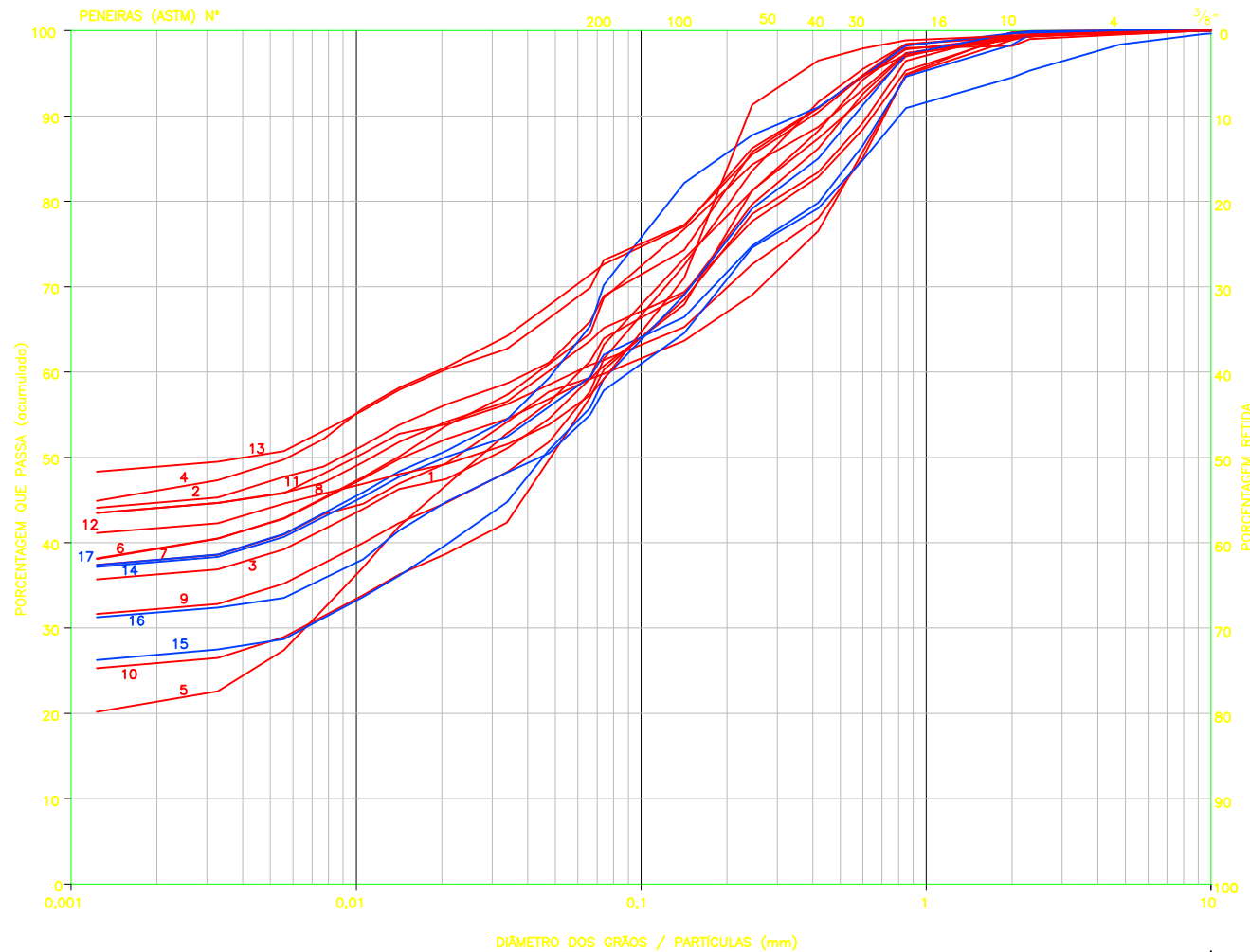


CURVAS GRANULOMÉTRICAS

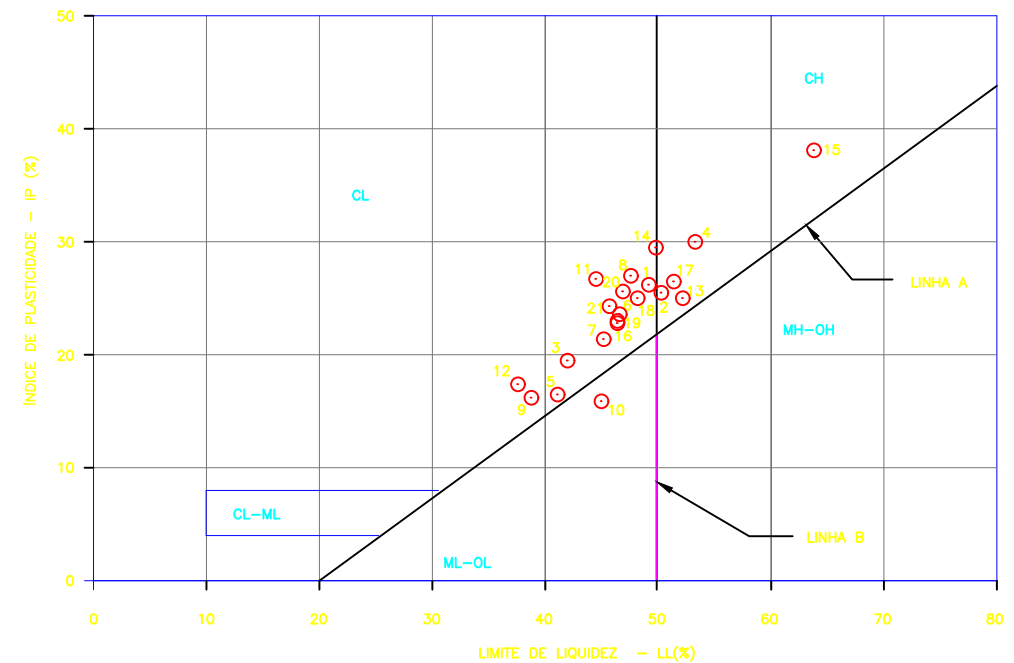


ARG.	SILTE	AREIA			PEDREGULHO	
		FINA	MÉDIA	GROSSA	FINO	MÉDIO

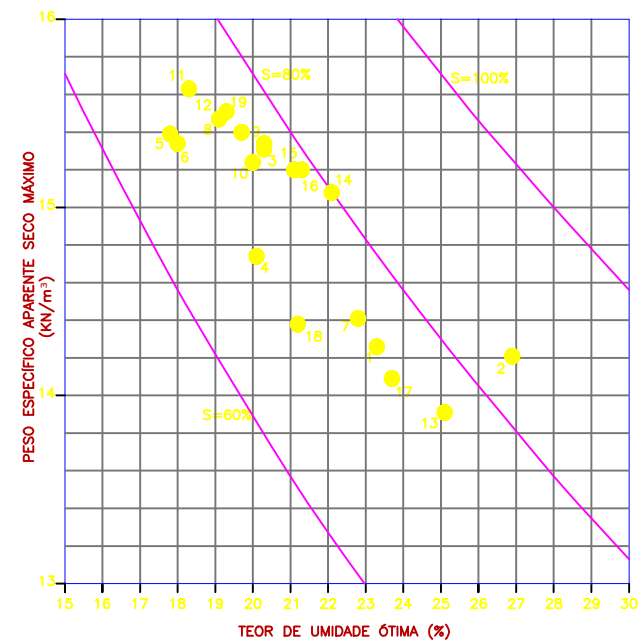
PROPRIEDADES GEOTÉCNICAS

LOCALIZAÇÃO	Área	Furo	N°	Profundidade	Argila (%)	Silte (%)	Areia (%)			Pedregulho (%)	LL (%)	LP (%)	IP (%)	Clas. USCS	$\gamma_s$ (KN/m <sup>3</sup> )	W (%)	Comp. Proctor Normal		K (cm/s)
							Fina	Média	Grossa								$\gamma_d$ (KN/m <sup>3</sup> )	W <sub>ot</sub> (%)	
Área de Empréstimo Margem Esquerda	AE-A	STA-01	1	0,35 a 1,5m	38,0	18,4	12,5	19,4	9,8	2,0	49,2	23,0	26,2	CL	25,510	14,5	14,260	23,3	4,19E-07
		STA-02	2	0,3 a 4,2m	44,7	19,9	16,2	14,0	4,4	0,7	50,3	24,8	25,5	CL/CH	25,310	23,7	14,210	26,9	-
	AE-B	STB-01	3	0,3 a 5,0m	36,5	21,6	17,5	16,5	7,8	0,2	42,0	22,5	19,5	CL	26,190	19,2	15,310	20,3	-
		STB-02	4	0,3 a 1,5m	46,2	24,4	11,6	12,5	4,5	0,8	53,3	23,3	30,0	CH	25,690	22,4	14,740	20,1	2,96E-07
	PEB-04	5	0,3 a 2,0m	21,3	38,5	15,3	17,5	6,5	0,9	41,1	24,6	16,5	CL	25,550	20,3	15,390	17,8	-	
		6	2,0 a 5,0m	39,4	19,2	8,0	19,2	13,1	1,1	46,6	23,0	23,6	CL	26,240	18,0	15,340	18,0	-	
	STC-01	7	0,3 a 1,2m	39,4	24,4	17,3	12,1	6,1	0,8	45,2	23,8	21,4	CL	26,030	19,7	14,410	22,8	-	
		8	1,2 a 5,0m	44,1	18,6	11,3	14,4	10,9	0,7	47,6	20,6	27,0	CL	25,690	21,2	15,470	19,1	-	
	AE-C	STC-02	9	0,3 a 4,5m	32,3	23,7	22,7	16,8	3,9	0,6	38,8	22,6	16,2	CL	25,800	-	15,340	20,3	-
		10	0,3 a 2,5m	25,8	28,5	19,7	15,1	10,6	0,2	45,0	29,1	15,9	ML	25,500	20,5	15,240	20,2	-	
PEC-05	11	2,5 a 5,0m	44,2	16,2	9,0	15,7	14,5	0,4	44,5	17,8	26,7	CL	26,430	21,9	15,630	18,3	-		
	12	0,3 a 4,5m	41,8	14,7	25,9	15,5	1,5	0,6	37,6	20,2	17,4	CL	26,520	13,7	15,400	19,7	-		
AE-H	STH-03	13	0,2 a 5,0m	49,0	20,2	12,7	12,8	4,3	1,0	52,2	27,2	25,0	CH	25,750	21,4	13,910	25,1	-	
	14	0,3 a 3,8m	37,8	20,8	12,5	15,4	11,8	1,6	49,8	20,3	29,5	CL/CH	26,220	21,8	15,080	22,1	-		
Área de Empréstimo Margem Direita	AE-E	STF-01	15	0,3 a 4,0m	26,8	27,1	20,8	16,6	8,5	0,2	63,8	25,7	38,1	CH	25,510	20,2	15,200	21,1	-
		16	0,35 a 2,3m	31,8	21,9	16,4	14,6	9,7	5,5	46,4	23,6	22,8	CL	26,070	20,1	15,200	21,3	-	
	STG-02	17	2,0 a 3,0m	38,0	25,9	21,4	9,3	5,1	0,3	51,4	24,9	26,5	CH	25,650	-	14,090	23,7	-	

CARTA DE PLASTICIDADE



COMPACTAÇÃO (PROCTOR NORMAL)



SIMBOLOGIA

SÍMBOLO	DEFINIÇÃO
AE	ÁREAS DE EMPRÉSTIMO
PI	POÇOS DE INSPEÇÃO
LL	LIMITE DE LIQUEZ
LP	LIMITE DE PLASTICIDADE
IP	ÍNDICE DE PLASTICIDADE
CL	ARGILA DE BAIXA COMPRESSIBILIDADE
CH	ARGILA DE ALTA COMPRESSIBILIDADE
MH-OH	SILTE OU SOLO ORGÂNICO DE ALTA COMPRESSIBILIDADE
ML-OL	SILTE OU SOLO ORGÂNICO DE BAIXA COMPRESSIBILIDADE
CL-ML	ARGILA OU SILTE DE BAIXA COMPRESSIBILIDADE
$\gamma_s$	PESO ESPECÍFICO DOS SÓLIDOS
$\gamma_d$	PESO ESPECÍFICO APARENTE SECO
$\gamma_w$	PESO ESPECÍFICO DA ÁGUA
W	UMIDADE
S	GRAU DE SATURAÇÃO
C'	INTERCEPTO DE COESÃO EFETIVA
$\phi'$	ÂNGULO DE ATRITO EFETIVO
K	PERMEABILIDADE CARGA VARIÁVEL

LEGENDA

- PESO ESPECÍFICO APARENTE SECO MÁXIMO E UMIDADE ÓTIMA.
- ÍNDICE DE PLASTICIDADE E LIMITE DE LIQUEZ
- MARGEM ESQUERDA
- MARGEM DIREITA

AHE ITAOCARA I - PROJETO BÁSICO



Projetos e Consultorias de Engenharia

PROJ. JMC/BSF	APROVADO POR: JEM	<p><b>ENSAIOS GEOTÉCNICOS</b>  <b>ÁREAS DE EMPRÉSTIMO</b>  <b>MARGEM DIREITA E</b>  <b>MARGEM ESQUERDA</b></p>
DES. GNMN/JC	CREA N.º 21112/D-5ª REG.	
VER. ASL	DATA: NOV/2009	
Nº DO DESENHO PJ0722-B-T03-GR-DE-101	REV. 0	
ESCALA S/ESC.		Nº DO CLIENTE -

1 - AS CURVAS DE SATURAÇÃO NO GRÁFICO  $W_{ótima} \times \gamma_{dmax}$  FORAM OBTIDAS CONSIDERANDO  $\gamma_s = 25,9$  KN/m<sup>3</sup> (VALOR MÉDIO) E  $\gamma_d = \frac{\gamma_s \cdot S \cdot W}{S_w + \gamma_s \cdot W}$

2 - PARA PROPRIEDADES GEOTÉCNICAS DAS AMOSTRAS 18,19,20 E 21, VER PJ0722-B-T03-GK-DE-102.

ENGEVIX Nº 8479/03-3G-A1-0010-0 - MATERIAIS NATURAIS DE CONSTRUÇÃO - LOCALIZAÇÃO DAS JAZIDAS E POÇOS.  
 PJ0722-B-T01-GR-PG-101 - PROGRAMAÇÃO DE INVESTIGAÇÕES GEOLÓGICO-GEOTÉCNICAS COMPLEMENTARES - ITAOCARA I.  
 PJ0722-B-T03-GR-DE-102 - ENSAIOS GEOTÉCNICOS - FUNDAÇÃO - BARRAGEM E DIQUE.

REV.	DATA	DES.	APROV.	DATA	APROV.	DATA	VISTO	DATA	POR
		PROJETA	CLIENTE 1	CLIENTE 2	CLIENTE 3				

REVISÕES

NOTAS

REFERÊNCIAS